

الكتاب السادس  
النماذج النووية

obeyikanda.com

## الباب السادس

## النماذج النووية Nuclear Models

الدراسة التفصيلية لحركة النيوكليونات داخل الأنوية عملية معقدة وصعبة مقارنة بدراسة حركة الإلكترونات الذرية. ويرجع ذلك لوجود نوعين مختلفين من الجسيمات وهي البروتونات والنيوترونات وكذلك لوجود نوعين من القوي وهي القوي النووية وقوة كولوم الكهربائية. ولذلك تم استخدام النماذج النووية لدراسة الظواهر النووية وتركيب وشكل النواة. وفي الواقع توجد أعداد وكثيرة من النماذج النووية التي توضح مدى اهتمام العلماء بدراسة النواة ولم يوجد حتى الآن نموذج واحد أجمع عليه الجميع بالنجاح الكامل لكل مشاكل النواة.

٦,١ نموذج قطرة السائل، القانون شبه تجريبي للكتلة

## Liquid Drop Model, Semiempirical Mass Formula

يعتبر هذا النموذج من أقدم النماذج النووية لأنه من ١٩٣٧م عندما اقترح بوهر أن النواة تشبه قطرة السائل حيث تسلك النويات داخل النواة سلوك جزيئات السائل داخل القطرة. وقد لوحظ تشابهاً كبيراً بين نواة الذرة وقطرة السائل من حيث:

١- أن النواة تتكون من مادة غير قابلة للانضغاط مثل قطرة السائل

وأن جميع الأنوية لها كثافة نووية واحدة أي أن:  $R \propto R_0 A^{1/3}$ .

٢- أن القوي النووية متساوية بين النيوكليونات أي أن:

$$F_{pp} \propto F_{nn} \propto F_{np} \propto F_{pn}$$

٣- أن القوي النووية ذات خاصية تشبعية وذات مدى قصير  $\sim 2F$  وهذا

يقابل عملية تأثر جزيئات السائل بالجزيئات المجاورة لها.

٤- طاقة الترابط النووي لكل نيوكلين في النواة تقابل الطاقة الكامنة للتبخر أي تفتت قطرة السائل حيث تعتمد الطاقة في الحالتين علي الكتلة.

٥- النواة المركبة وعملية الاندماج النووي في الأنوية تقابل عملية التكتيف في السوائل.

٦- ظاهرة النشاط الإشعاعي في النواة تشبه ظاهرة التبخر في السوائل. ويمكن استخدام هذا النموذج لاستنتاج علاقة تحسب كتلة النواة ومنها نحسب طاقة الترابط النووي لكل نيوكلين. وبناءً علي الفروض السابقة يمكن كتابة طاقة الترابط النووي كما يلي :

$$E \approx Z \approx m_p \approx (A \approx Z)m_n \approx f_1(A, Z) \approx f_2(A, Z) \approx f_3(A, Z) \quad (٦-١)$$

حيث  $A, Z$  العدد الذري والعدد الكتلي للنواة،  $m_p, m_n$  كتلة كل من النيوترون والبروتون.  $f_1(A, Z), f_2(A, Z), f_3(A, Z)$  حدود إضافية لتصحيح الكتلة طبقاً للظواهر التي تحدث في قطرة السائل. ونستطيع الآن وبناءً علي الفروض السابقة شرح كل حد علي حدة كما يلي:

١- الحد الأول (حد الحجم)

يعتبر هذا الحد  $f_1(A, Z)$  من أهم الحدود علي أساس تأثير الحجم علي الكتلة ولذلك سمي بحد الحجم لأن جميع النيوكليونات موجودة داخل النواة بمعنى أنه لا يوجد نويات علي السطح الخارجي للنواة فإن ذلك يؤدي لزيادة طاقة الترابط ( الطاقة الكامنة في قطرة السائل) ويؤدي بالتالي للنقص في كتلة النواة ولذلك فإن كتلة هذا الحد سالبة. وتكون إشارة هذا الحد سالبة أيضاً بسبب الطاقة الكولومية بين البروتونات والتي تعمل علي إنقاص طاقة الترابط النووي كما في شكل (٦-١). وتناسب طاقة الترابط النووي مع كتلة أو حجم النواة ويمكن

بالتالي كتابة هذا الحد علي الصورة الآتية:

$$f_1(A, Z) \approx E_v \approx aA \quad (٦-٢)$$

حيث  $a$  مقدار ثابت. ويمثل هذا الحد القيمة الرئيسية لطاقة الترابط النووي.

## ٢- الحد الثاني (حد التوتر السطحي)

يسمى هذا بحد تأثير السطح الحر الخارجي للنواة علي كتلتها أو علي طاقة الترابط النووي وسبب ذلك أن النيوكلون الموجود علي سطح النواة يتجاذب مع النواة من جهة واحدة فقط بينما النيوكلونات الداخلية تنجذب مع النواة من كل الجهات وهذا مشابه للتوتر السطحي في السوائل ويؤدي إلي النقص في طاقة الترابط أو زيادة في كتلة النواة. ولو افترضنا أن نواة بها ٢٥ نيوكليون سنجد منها تقريباً ١٥ نيوكليون علي السطح أي أن النسبة بين النيوكلونات الموجودة علي السطح والنيوكلونات الكلية ستكون  $0.60 \square \frac{15}{25}$ . بينما لو افترضنا أن نواة بها ٩ نيوكلونات ويوجد منها تقريباً ٧ نيوكلونات علي السطح أي أن النسبة بين النيوكلونات الموجودة علي السطح والنيوكلونات الكلية ستكون  $0.78 \square \frac{7}{9}$ . هذا يفسر النقص الكبير في طاقة الترابط النووي لكل نيوكليون في حالة الأنوية ذات العدد الكتلي الصغير حيث نجد أن عدد النيوكلونات الموجودة علي سطح النواة تكون أكبر كثيراً من عدد النيوكلونات الموجودة عند سطح النواة في حالة الأنوية الثقيلة ذات العدد الكتلي الكبير كما في شكل (٦-١). وهكذا نجد أن النيوكلونات القريبة من السطح ترتبط مع النواة بطاقة ترابط أقل من النيوكلونات الموجودة في عمق النواة، ولذلك تنخفض طاقة الترابط الكلية للنواة بمقدار يتناسب مع عدد النيوكلونات القريبة من السطح وبالتالي مع مساحة سطح النواة  $S$  وتكون طاقة التوتر السطحي هي:

$$f_2(A, Z) \square E_s \square 4\sigma R^2 K \quad (٦-٣)$$

حيث  $K$  هو معامل التوتر السطحي. ويمكن كتابة المعادلة السابقة في حالة النواة علي الصورة التالية:

$$E_s \approx 4\pi R^2 K \approx 4\pi K (r_0 A^{1/3})^2 \approx (4\pi K r_0^2) A^{2/3} \approx a_s A^{2/3} \quad (٦-٤)$$

حيث  $a_s$  مقدار ثابت. والإشارة السالبة في المعادلة تعني أن طاقة التوتر السطحي تقلل من قيمة طاقة الترابط النووي.

٣- الحد الثالث (حد تأثير كولوم)

يوضح الحد الثالث تأثير قوة كولوم الكهربائية نتيجة التنافر الحادث في النواة من البروتونات الموجبة وهذا التنافر يؤدي إلي نقص في طاقة الترابط النووي وبالتالي زيادة في الكتلة. وأن المدى في حالة القوة الكهربائية يكون كبير فإن أي بروتون يتنافر مع جميع البروتونات في النواة وليس المحيطة به فقط كما في القوة النووية. ولذلك فإن قوة التنافر الكهربائي تزيد بزيادة العدد الذري  $Z$  وبزيادة العدد الكتلي  $A$ . ولحساب الطاقة الكهربائية الناتجة من قوة التنافر الكولومي نفترض أن الشحنة موزعة بانتظام علي النواة فيمكن حساب كثافة الشحنة من المعادلة:

$$\rho \approx \frac{Ze}{\frac{4}{3}\pi R^3} \quad (٦-٥)$$

حيث  $R$  نصف قطر النواة،  $Ze$  شحنة النواة، والمقدار  $\frac{4}{3}\pi R^3$  يمثل حجم الكرة. ولحساب الطاقة الكهربائية نتيجة البروتونات الموجبة في النواة نفرض أن النواة عبارة عن كرة مشحونة نصف قطرها  $r$  وتوجد شريحة علي سطح النواة سمكها  $dr$ . فيمكن حساب الجهد من قانون كولوم وهو:

$$V \approx \frac{4}{3}\pi \rho \frac{r^3}{r} \approx \frac{4}{3}\pi \rho r^2 \quad (٦-٦)$$

إذا كانت الشحنة التي تحملها الشريحة والتي سمكها  $dr$  هي:

$$q \approx 4\pi r^2 \cdot dr \quad (٦-٧)$$

وتكون الطاقة المبذولة نتيجة الشحنة علي سطح النواة هي:

$$dE = \frac{4}{3} \sigma r^2 \cdot 4\pi r^2 dr = \frac{16}{3} \sigma^2 r^4 dr \quad (6-8)$$

وتكون الطاقة الكهربائية الكلية الناتجة عن توزيع الشحنة تحسب من التكامل:

$$E = \int_0^R \frac{16}{3} \sigma^2 r^4 dr = \frac{16}{3} \sigma^2 \int_0^R r^4 dr \quad (6-9)$$

وتصبح الطاقة الكلية بعد حساب التكامل تساوي:

$$E = \frac{16}{15} \sigma^2 R^5 \quad (6-10)$$

بالتعويض من المعادلة (6-5) في المعادلة (6-10) بقيمة  $\sigma$  نحصل علي الطاقة الكولومية نتيجة تنافر البروتونات وهي:

$$E = \frac{3 Z^2 e^2}{5 R} \quad (6-11)$$

ولكن من المعلوم أن النواة تحتوي علي بروتونات لها طاقة ذاتية تربط مكوناتها مع بعض (مجموعة الكواركات) فلا بد من حساب الطاقة الذاتية للبروتون وطرحها من الطاقة الكلية. وحساب الطاقة الذاتية للبروتون الواحد يحسب من:

$$E_p = \frac{3 e^2}{5 R} \quad (6-12)$$

وتكون الطاقة الذاتية لكل البروتونات هي:

$$E_p = \frac{3 Z e^2}{5 R} \quad (6-13)$$

وتصبح الطاقة الكولومية بعد طرح الطاقة الذاتية البروتونات هي:

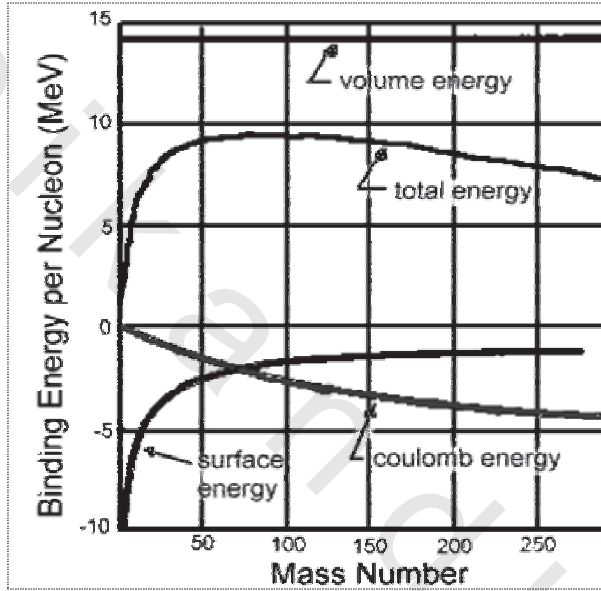
$$E_c = E - E_p = \frac{3 Z^2 e^2}{5 R} - \frac{3 Z e^2}{5 R} = \frac{3 e^2}{5 R} Z(Z - 1) \quad (6-14)$$

$$E_c = a_c \frac{Z(Z - 1)}{A^{1/3}} \quad (6-15)$$

حيث  $a_c$  مقدار ثابت وتكون قيمته تساوي:

$$a_c = \frac{3e^2}{5r_0} \quad (٦-١٦)$$

والإشارة السالبة تعني النقص في طاقة الترابط النووي كما في شكل (٦-١)



شكل (٦-١) يوضح العلاقة بين طاقة الترابط النووي والعدد الكتلي  $A$

٤- الحد الرابع (حد التماثل)

يمثل هذا الحد العلاقة بين عدد البروتونات  $Z$  وعدد النيوترونات  $N$  في النواة. وعند قيم معينة للعدد الكتلي  $A$  توجد قيمة محددة للعدد الذري  $Z$  التي تقابل أكثر العناصر استقراراً. وفي حالة الأنوية الخفيفة يقل التأثير الكولومي فتكون هذه القيمة  $A/2$  ويكون عدد البروتونات يساوي عدد النيوترونات في هذه الأنوية. وفي حالة غياب التأثير الكولومي، فإن الحيود عن هذا الشرط  $Z=A/2$  سوف يؤدي إلي عدم استقرار النواة وتقل قيمة طاقة الترابط النووي. هذا التأثير يتناسب مع



عدد النيوترونات. وقد وجد أنه يتناسب مع القيمة  $(A \pm 2Z)^2$  وهذا الحد يتلاشي عندما تكون  $Z=A/2$ . وهذا يعني أن طاقة الترابط النووي تكون قيمة عظمي وغياب الطاقة الكولومية. وقد أثبتت الدراسات التفصيلية لهذا التأثير التماثلي أنه يتناسب عكسياً مع العدد الكتلي  $A$  ولذلك فطاقة التماثل تعطي من:

$$E_r \approx a_r \frac{(A \pm 2Z)^2}{A} \quad (٦-١٧)$$

ومن العوامل المؤثرة علي طاقة الترابط هو حالة النواة هل هي زوجية أم فردية. ويوجد حد يسمى حد الازدواج  $\delta$  تكون قيمته طبقاً للحالات هل هي فردية أم زوجية كما يلي:

١- عندما تكون النواة زوجية أي عدد البروتونات  $Z$  والنيوترونات  $N$  يكون زوجي تكون طاقة الترابط النووي أعلى ما يمكن ، ويفسر هذا عن طريق اللف المغزلي (spin) أي أنه عندما تكون  $Z, N$  زوجية فإن اللف المغزلي سيكون عكس بعضه فيتلاشي ويكون عدد الأنوية المستقرة في هذه الحالة (زوجي- زوجي) ٢٠١ نواة وتكون  $\delta$  موجبة.

٢- وعندما تكون  $N$  زوجية و  $Z$  فردية أو العكس فستكون طاقة الترابط متوسطة ويكون عدد الأنوية المستقرة في حالة (زوجي- فردي) ٦٩ نواة وتكون  $\delta = 0$ .

٣- وعندما تكون  $N$  فردية و  $Z$  زوجية أي في حالة (فردية- زوجي) يكون عدد الأنوية ٦١ نواة وتكون  $\delta = 0$ .

٤- عندما تكون  $N, Z$  فردية أي في حالة (فردية - فردي) فتكون الطاقة منخفضة ويكون عدد الأنوية ٥ أنويه وتكون  $\delta$  سالبة.

وبعد اكتشاف الأعداد السحرية أضيف حد يسمى  $\delta$  والذي يمثل تأثير القشرة النووية وهو موجب إذا كانت  $N$  أو  $Z$  تقترب من الأعداد السحرية وبالتالي تصبح المعادلة النهائية لطاقة الترابط النووي علي الصورة:

$$E \approx a_v A - a_s A^{2/3} - a_c Z(Z-1)A^{-1/3} - a_r (A-2Z)^2 A^{-1} \quad (6-18)$$

ويمكن حساب كتلة النواة من المعادلة:

$$M(A, Z) \approx Zm_p + Nm_n - a_v A + a_s A^{2/3} - a_c Z(Z-1)A^{-1/3} - a_r (A-2Z)^2 A^{-1} \quad (6-19)$$

وقد تم تعيين الثوابت ووجد أنها تساوي:

$$a_v \approx 14.0 \text{ MeV}; a_s \approx 13.1 \text{ MeV}; a_c \approx 0.146 \text{ MeV}; a_r \approx 19.4 \text{ MeV}$$

أما  $a_r \approx 270 \text{ MeV}$  للأنوية زوجي-زوجي والأنوية فردي-فردي وتساوي  $a_r \approx 0$  للأنوية زوجي-فردي أو الأنوية فردي-زوجي.

وقد تم تعيين الثوابت بطريقة "mass formula" وهي كما يلي:

The "semi-empirical" "Beth- Weizaecker formula" mass formula"

$$E_b^{even-odd} \approx \underbrace{(15.75 \text{ MeV})A}_{\text{Volume term}} - \underbrace{(17.8 \text{ MeV})A^{2/3}}_{\text{Surface term}} - \underbrace{\frac{(0.711 \text{ MeV})Z^2}{A^{1/3}}}_{\text{Coulomb term}} - \underbrace{\frac{(23.7 \text{ MeV})(A-2Z)^2}{A}}_{\text{Pauli term}}$$

وعند تصحيح الأعداد الزوجية - الزوجية تكون الطاقة:

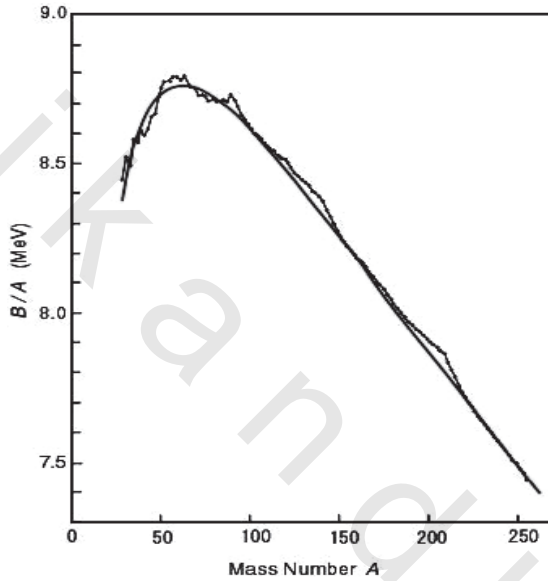
$$E_b^{even-even} \approx E_b^{even-odd} + \frac{11.18 \text{ MeV}}{\sqrt{A}}$$

وعند تصحيح الأعداد الفردية - الفردية تكون الطاقة:

$$E_b^{odd-odd} \approx E_b^{even-odd} - \frac{11.18 \text{ MeV}}{\sqrt{A}}$$

وعند دراسة النتائج العملية بين العدد الكتلي وطاقة الترابط النووي لكل نيوكلون حسب شكل (6-2) وجد أفضاق بينها وبين النتائج النظرية المحسوبة بالمعادلة شبه العملية لنموذج قطرة السائل.

وقد ساعدت المعادلة شبه العملية في تفسير الخواص الأستقرارية لبعض الأنوية، خاصة المشعة مثل  $\beta$  والأيزوبارات. فعند دراسة جدول الأنوية نلاحظ أن معظم الأيزوبارات تفترق عن بعضها البعض من حيث رقم الشحنة بمقدار ٢ أي أن  $Z \pm 2$  وأن حوالي ٦٠ زوجاً من الأيزوبارات وجد أن لها  $Z \pm 2$  وأن زوجين فقط



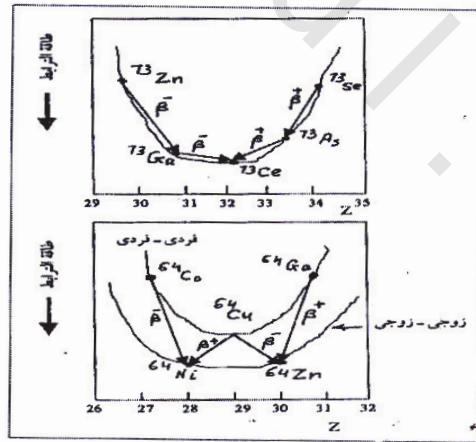
شكل (٦-٢) يوضح التوافق بين النتائج العملية والحسابات النظرية لطاقة الترابط النووي لكل نيوكليون

لهما  $Z \pm 1$ . العناصر الأخيرة هي:  $^{113}_{48}Cd, ^{113}_{49}In, ^{123}_{51}Sb, ^{123}_{52}Te$ . القيم  $A \pm 113, A \pm 123$  هما القيمتان الفرديتان للعدد الكتلي اللتان لهما أكثر من عنصر مستقر. ويمكن للقيم الزوجية للعدد الكتلي  $A$  أن يوجد أيزوبارين مستقرين ( $A \pm 96, 124, 130, 136$ ) وقد يوجد ثلاثا. وعند النظر الي المعادلة (٦-١٩) لطاقة الترابط النووي عندما يكون العدد الكتلي  $A$  فردي نجد أن الحدود الوحيدة المتغيرة هي التي تحتوي علي  $Z$  وهذه

تعتمد علي  $Z^2$  حيث يختفي الحد فردي- زوجي. وعند رسم علاقة طاقة الترابط النووي لمجموعة من الأنوية لها  $A$  عدد فردي و  $Z$  متغير، سينتج منحنى يسمى منحنى السلسلة شكل (٦-٣). من المنحنى نلاحظ أن طاقة الترابط النووي تقل بزيادة  $Z$  حتى تصل إلي القاع الذي يمثل أكثر الأنوية استقراراً والتي لها أكبر طاقة ترابط نووي. ويوجد عامة عنصر واحد عند القاع وسيكون هو العنصر الوحيد المستقر في المجموعة. وكل الأيزوبارات التي لها طاقة ترابط نووي أقل ستكون علي ذراعي المنحنى وكتل هذه العناصر ستكون أكبر من كتلة العنصر المستقر ولذلك تنحل هذه العناصر بانبعث إلكترون أو بوزيترون أو بأسر إلكترون ذري من المدار  $K$ . الأيزوبارات المتبقية من التحلل والتي تقع علي يسار العنصر المستقر عندها عدد أقل من البروتونات عن المستقر ولذلك تنحل بانبعث إلكترون حسب التفاعل التالي:

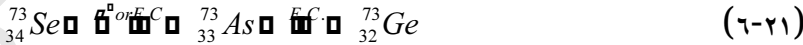


الأيزوبارات التي تقع علي يمين العنصر المستقر تحتوي علي بروتونات أكثر ولذلك



شكل (٦-٣) يوضح منحنى السلسلة لطاقة الترابط النووي والعدد الذري

الأيزوبرات التي تقع علي يمين العنصر المستقر تحتوي علي بروتونات أكثر ولذلك تنحل بانبعث بوزيترونات أو بأسر إلكترونات ذرية حسب التفاعل التالي:



وتختلف هذه النتائج بالنسبة للأيزوبرات التي  $A = 73$  زوجي بسبب التأثير فردي- زوجي وسيظل منحنى الترابط النووي  $Z$  علي شكل السلسلة. وفي حالة الأنوية زوجي- زوجي ستكون لها طاقة ترابط إضافية موجبة  $135\text{MeV}/A$  أما الأنوية فردي- فردي فتقل طاقة الترابط بنفس هذه القيمة ولذلك يوجد منحنيان أحدهما عندما تكون  $Z$  زوجي،  $A$  زوجي والآخر عندما تكون  $Z$  فردي  $A$  زوجي كما في الشكل. الأنوية فردي- زوجي تقع علي المنحنى العلوي ولهذا فهي غير مستقرة بالنسبة للأنوية علي المنحنى السفلي. ومن الشكل نلاحظ أنه يوجد أيزوباران زوجي- زوجي قريبان من القاع ويختلفان في  $(2Z)$ . الأنوية التي علي اليسار تنحل باعثة إلكترونات والأنوية التي علي اليمين تنحل باعثة بوزيترونات. الأيزوبار الموجود بقاع المنحنى العلوي ينحل بانبعث  $e^{-}$  or  $\bar{\nu}_e$ .

## ٦,٢ نموذج القشور النووية Shell Nuclear Model

يعتبر نموذج القشرة النووية من أهم النماذج النووية التي ساعدت علي فهم التركيب النووي. فقد أتضح في الأونة الأخيرة أن الكثير من الخواص النووية يتغير بطريقة دورية تشبه إلي حد كبير النظام الدوري للعناصر. ومن دراسة الفيزياء الذرية وجد أن امتلاء الأغلفة الإلكترونية للذرة بوجود عدد معين من الإلكترونات عند الأعداد ( 2,8,18,32,..... ) وهذه الأرقام يطلق عليها الأرقام السحرية Magic Numbers والعناصر التي تملك الأرقام السحرية تكون خاملة كيميائياً، أي أن طاقة الفصل عالية جداً ( طاقة التآين) مقارنة بالعناصر التي تقع قبلها أو بعدها

في الجدول الدوري حيث تكون مدارات هذه العناصر مفضلة وتكون الذرات مستقرة ومثل هذه الأرقام الأعداد الذرية للغازات النبيلة أو الخاملة. وعند مقارنة الشواهد التجريبية يمكن أن يكون هناك تركيباً قشرياً للنواة كما في الذرة. وتوجد أعداد سحرية في الأنوية كما في الذرة والأعداد السحرية في حالة النيوترونات هي  $N \in (2,8,20,28,50,82,126)$  وفي حالة البروتونات هي  $Z \in (2,8,20,28,50,82)$ . والأعداد السحرية للبروتونات والنيوترونات فسرت علي أنها تكون مدارات أو قشور مغلقة من البروتونات والنيوترونات وتكون مستوياتها مستقلة عن بعضها البعض.

٦-٣ الشواهد والبراهين علي وجود نموذج القشور النووية:

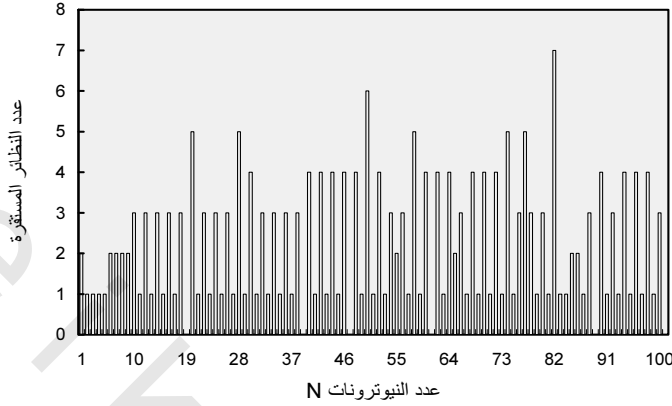
١- الأنوية التي لها  $Z, N$  تساوي ٢،٨  $({}^{16}_8O, {}^4_2He)$  أكثر استقراراً من جيرانها.

٢- عند دراسة منحنى طاقة الترابط النووي لكل نيوكليون والعدد الكتلي للأنوية المختلفة وجد أن المنحني لا يكون أملس ولكن توجد به بعض النتوءات التي تقابل زيادة مفاجئة في طاقة الترابط النووي لكل نيوكليون. وقد وجد أن هذه النتوءات تحدث عند العناصر الآتية:

$${}^{208}Po(Z \in 82, N \in 50), {}^{120}Sn(Z \in 50, N \in 70), \quad (٦-٢٢)$$

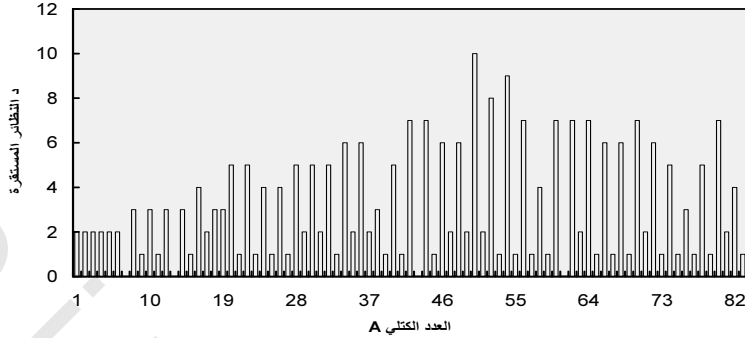
$${}^{140}Ce(Z \in 58, N \in 82), {}^{88}Sr(Z \in 38, N \in 50).$$

٣- لوحظ أن عدد النظائر المستقرة التي تكون فيها  $Z$  أو  $N$  أو كلاهما معاً أعداد سحرية أكثر من عدد النظائر التي تكون فيها  $Z$  أو  $N$  أكبر أو أقل من الأعداد السحرية ومثال علي ذلك عدد النظائر التي لها  $Z=20$  يساوي ٦ بينما عدد النظائر في حالة  $Z=19$  يساوي ٣ وعدد النظائر في حالة  $Z=21$  يساوي ١ كما في شكل (٦-٤).



شكل (٦-٤) عدد النظائر المستقرة في حالة Z أو N من الأعداد السحرية

٤- لوحظ أن عدد الأيزوتونات المستقرة يكون كبيراً عندما تكون عدد النيوترونات سحري. ومثال علي ذلك عدد الأيزوتونات المستقرة التي لها  $N=82$  يساوي ٧ بينما عدد الأيزوتونات حول هذا العدد يقل إلي ٤. وعندما تكون  $N=50$  يكون عدد الأيزوتونات يساوي ٦ بينما يقل إلي أربعة حول هذا العدد كما في شكل (٦-٥).

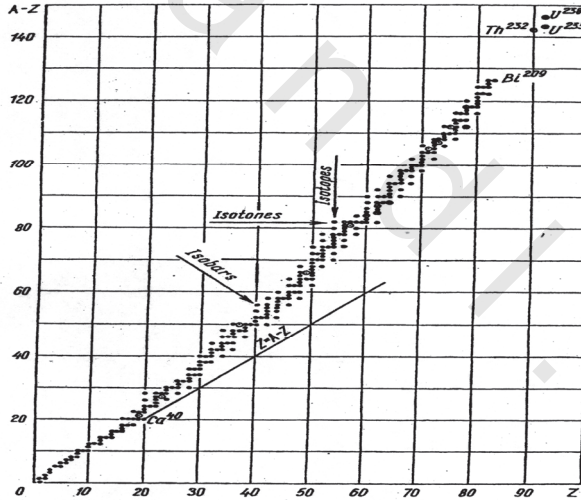


شكل (٦-٥) عدد الأيزوتونات المستقرة في حالة عدد النيوترونات يكون عدداً سحرياً

٥- لقد وجد أن هناك ارتباطاً محددًا بين طاقات الترابط النووي ومدى انتشار العناصر المختلفة في الطبيعة ويمكن الاستدلال على الاستقرار النسبي للعناصر المختلفة بعدد النظائر المستقرة. شكل (٦-٦) يوضح عدد النظائر المستقرة كدالة في العدد الذري  $Z$ . ومن الشكل نجد أن أخف العناصر الذي له أكثر من نظيرين هو عنصر الأكسجين ( $^{16}_8O$ ) والعنصر الأول الذي له أربعة نظائر مستقرة هو الكبريت ( $^{32}_{16}S$ ) وأثقل نظائره هو ( $^{36}_{16}S$ ) الذي يحتوي على ٢٠ نيوترون. ويوجد ٥ نظائر للكالسيوم  $Z=20$ ، ويوجد ٧ نظائر للموليبدينوم أخفها هو ( $^{92}Mo$ ) الذي يحتوي على ٥٠ نيوترون. وتوجد ١٠ نظائر تحدث مرة واحدة فقط عند  $Z=50$ . ويوضح شكل (٦-٤) أيضاً عدد النظائر المستقرة التي لها نفس العدد المعين من النيوترونات (الأيزوتونات) كدالة في عدد النيوترونات  $N$ . ومن هذا الشكل نلاحظ أن النهايات العظمى للأيزوتونات المستقرة تقع عند  $N=20,28,50,82$  وأن طاقة جسيمات ألفا المنبعثة من الأنوية الثقيلة المشعة تعطي برهاناً قوياً للأعداد السحرية  $Z=82$  و  $N=126$  لأن وجود عنصر



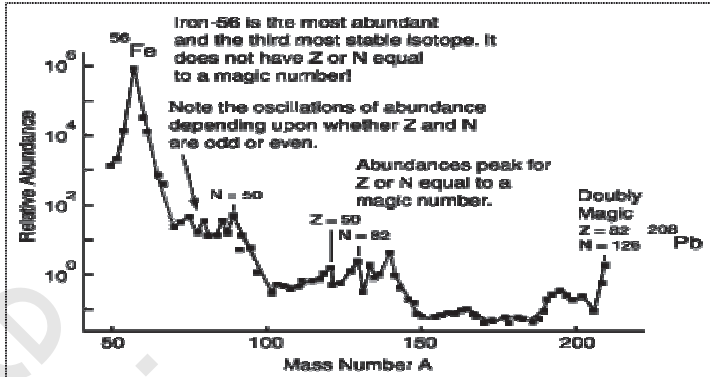
الرصاصة كمنتج نهائي في ثلاث سلاسل إشعاعية تشير إلى الطبيعة الخاصة للأنوية التي لها  $Z=82$ . فالأنوية التي بها ١٢٨ نيوترون مثل  $(^{212}_{84}Po, ^{213}_{85}At)$  تشع على غير العادة جسيمات ألفا ( $\alpha$ ) ذات طاقة عالية بحيث  $(E_\alpha \approx 8.78MeV, 9.2MeV)$  على الترتيب وزمن نصف العمر  $(t_{1/2} \approx 3 \times 10^7)$  لعنصر  $^{212}_{84}Po$  بينما لم يقاس زمن نصف العمر لعنصر  $^{213}_{85}At$  وفي كلتا الحالتين فإن النواة الابنة لها ١٢٦ نيوترون، أي يوجد ميل شديد للأنوية التي تحتوي على ١٢٨ نيوترون لتشع جسيمات ألفا ( $\alpha$ ) وتتغير إلى الحالة المستقرة التي بها عدد من النيوترونات يساوي ١٢٦. وقد وجدت حالات شبيهة في حالة تفكك بيتا ( $\beta$ ) فطاقة جسيمات بيتا تكون كبيرة عندما يكون عدد البروتونات أو النيوترونات في النواة الابنة مساوياً لعدد سحري.



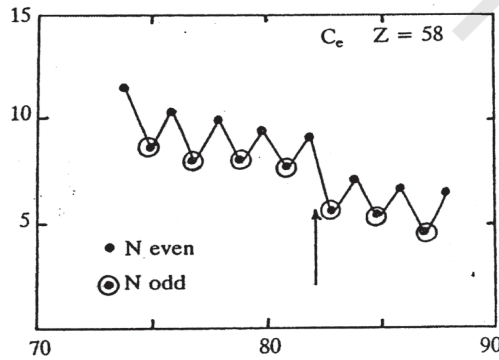
شكل (٦-٦) عدد النظائر المستقرة من الأيزوتونات كدالة في العدد

الكتلي A

٦- لقد لوحظ أن العناصر التي لها  $Z, N$  أعداد سحرية تكون متوافرة في الطبيعة أكثر من غيرها كما في شكل (٦-٧)

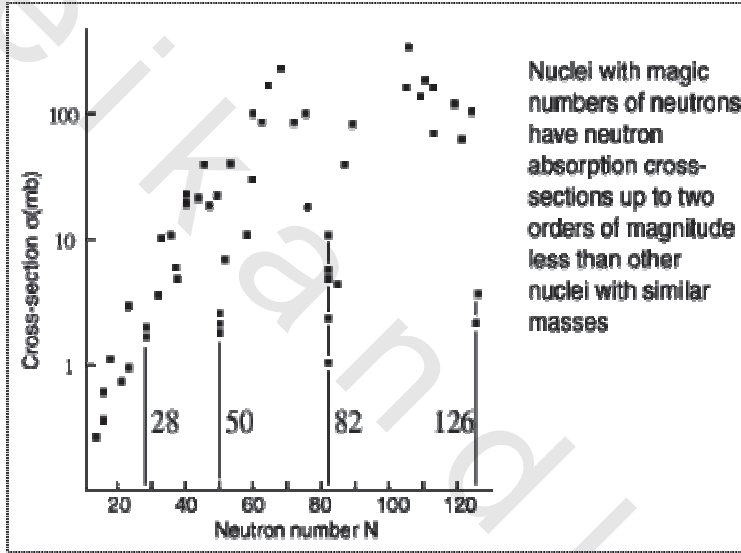


شكل (٦-٧) توافر العناصر في الطبيعة التي لها Z, N أعداد سحرية -٧ طاقة الفصل للبروتونات والنيوترونات عند الأعداد السحرية تكون أكبر من طاقة الفصل للعناصر التي بجوار الأعداد السحرية. و عند إضافة ١ للعدد السحري فإن طاقة الفصل تكون صغيرة جدا كما في شكل (٦-٨) وهذا يدل علي أن الأغلفة النووية ممتلئة ولا تقبل أي زيادة في عدد النيوترونات أو البروتونات. وهذه الخاصية تشبه طاقة التآين في الذرات حيث نجد أن الغازات الخاملة لها طاقة تآين كبيرة بينما في حالة القلوويات تقل هذه طاقة التآين كثيراً. نلاحظ من الشكل تأثير الازدواج وهو في حدود ٢ م.أ.ف لعنصر السيزيوم



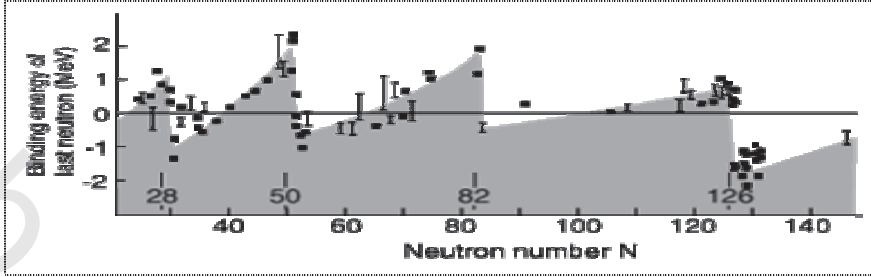
شكل (٦-٨) يوضح أن طاقة الفصل عند الأعداد السحرية تكون كبيرة

٨- في حالة الأنوية التي لها عدد سحري من النيوترونات تكون مساحة مقطع الامتصاص لها يكون أكبر عند الأعداد السحرية وتكون أكبر مرتين من الأنوية التي ليس لها عدد سحري كما في شكل (٩-٦) وهذا أيضاً يدل علي أن الأغلفة النووية ممتلئة ولا تقبل أي زيادة في عدد النيوترونات وهذا يؤدي إلي استقرار هذه الأنوية.



شكل (٩-٦) يوضح أن مساحة مقطع التفاعل عندما النيوترونات تكون أعداد سحرية

٩- الطاقة اللازمة لنزع النيوترون الذي يوجد في المدار الأخير في حالة الأغلفة النووية الممتلئة يعتمد علي نوع التركيب القشري. فعند الأعداد السحرية يحتاج هذا النيوترون إلي طاقة كبيره. والخط الموجود عند الصفر يوضح القيمة المتوقعة لطاقة الترابط النووي بصيغة Weizsaecker formula كما في شكل (١٠-٦).



شكل (٦-١٠) يوضح طاقة الترابط النووي عندما تكون النيوترونات أعداد السحرية

#### ٦-٤ قواعد النموذج القشري

من الشواهد والبراهين السابقة وجد أن النواة مكونة من نيوكلونات موزعة بطريقة معينة كما في الذرة، ولمعرفة توزيع هذه النيوكلونات لابد من معرفة الجهد للنواة. ولقد وضعت فروض عديدة لبناء النموذج القشري للنواة منها:

١- أن كل نيوكليون يتحرك في مداره داخل النواة مستقلاً عن بقية النيوكليونات ويتحدد المدار بدالة طاقة (بئر) جهد  $V(r)$  التي تمثل التأثير المتوسط للتفاعلات مع بقية النيوكلونات وهي متساوية لكل نيوكليون.

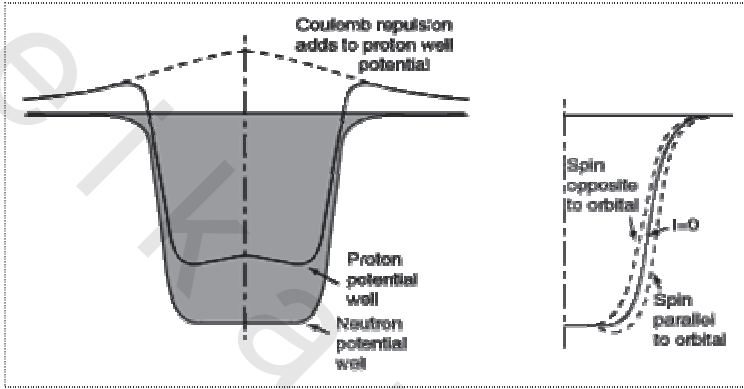
٢- طاقة الجهد يأخذ شكلاً كروياً في أبسط الحالات وذلك في حالة الأغلفة المغلقة أما غير ذلك فإن شكل النواة سيأخذ شكلاً بيضاوياً أو غير ذلك.

٣- كل نيوكليون يعتبر جسماً مستقلاً، والتفاعل بين النيوكلونات يعتبر اضطراباً صغيراً في التفاعل بين النيوكليونات وجهد المجال ويطلق علي النموذج غالباً اسم نموذج الجسيم المستقل.

عند حل معادلة شرودنجر يمكن استنتاج مستويات الطاقة للنيوكلونات النووية وكانت أول محاولة لتفسير الأعداد السحرية بنيت علي الفرضية

الأساسية بأن النيوكليونات تتحرك بحرية في دالة الجهد النووية. وأول دالة جهد استخدمت هي البئر المربع (Square Well Potential) كما في شكل (٦-١١) حيث:

$$V(r) = \begin{cases} V_0 & (r \leq R) \\ 0 & (r > R) \end{cases} \quad (٦-٢٣)$$



شكل (٦-١١) يوضح دالة الجهد المربع للبروتونات والنيوترونات ثم استخدمت دالة الجهد التوافقي للمتذبذب التوافقي البسيط Harmonic Oscillator أي أنه إذا كان لدينا جسيم واقع تحت تأثير قوة تناسب مع مربع المسافة  $r^2$  بين الجسيم ونقطة محددة فإن دالة الجهد تعطي بالعلاقة:

$$V(r) = \frac{1}{2} Kr^2 \quad (٦-٢٤)$$

وتكون معادلة شرودنجر كالتالي:

$$E_n = \left\{ \frac{\hbar^2}{2m} \nabla^2 + V(r) \right\} \psi \quad (٦-٢٥)$$

وعند حل معادلة شرودنجر وتطبيق ميكانيكا الكم، كانت النتيجة هي أن البروتونات والنيوترونات تكون مستويات طاقة أو مدارات مستقلة ولكن

بأعداد لا تتفق مع النتائج التجريبية وهذه الأعداد هي  
 $2, 8, 20, 40, 70, 112, 168$  وبمقارنة هذه الأعداد بالأعداد السحرية  
سنجد أنها تتفق معها في الأعداد الثلاثة الأولى فقط. وإذا تم إدخال دالة  
جهد المتذبذب التوافقي مع بئر الجهد المربع كما يلي:

$$V(r) = V_0 \left(1 - \frac{r^2}{r_0^2}\right) \quad (٦-٢٦)$$

وتكون معادلة شرودنجر كالآتي:

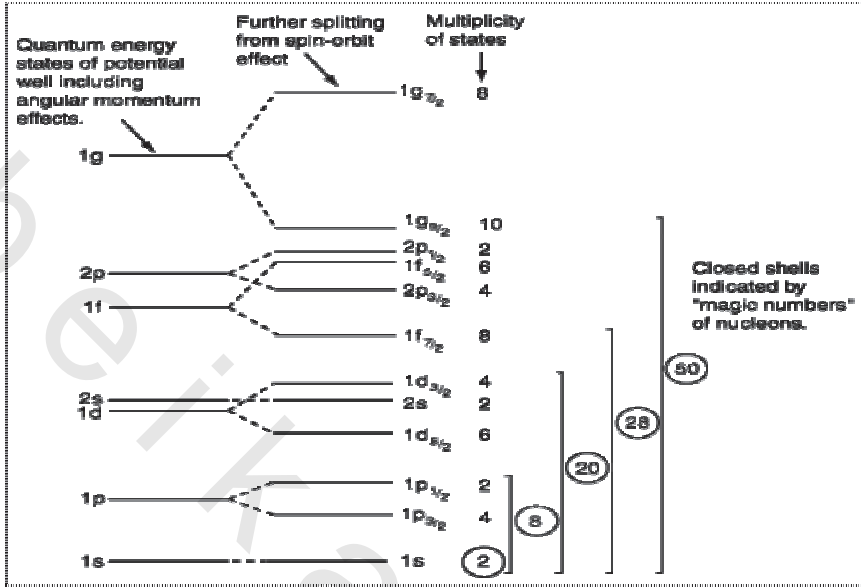
$$E_n = \frac{\hbar^2}{2m} k^2 = V_0 \left(1 - \frac{r^2}{r_0^2}\right) \quad (٦-٢٧)$$

وبعد حل معادلة شرودنجر وجد أنها تعطي أعداداً تتفق مع النتائج  
التجريبية ما عدا العدد ٢٨. وقد وجد أنه للحصول على أعداد تتفق مع  
النتائج التجريبية يجب إدخال فرض جديد وهو ينص على أن طاقة  
النيوكليون تختلف جوهرياً إذا كانت مغزليته موازية لعزم التحرك  
المداري أو معاكسة له. وعندما أدخل هذا الفرض في النظرية أدي إلي  
الحصول على أعداد متفقة مع التجارب العملية أي أن  
 $(2, 8, 20, 50, 82, 126)$  وعليه يمكن تفسير كلمة سحري حيث صمم  
النموذج النووي بحيث إنه عند معاملته رياضياً يعطي الأعداد الصحيحة أي  
المتفقة مع التجربة.

وفي عام ١٩٤٩م أقترح العلماء جنسين وماير Goeppert-  
Mayer and Jensen نموذجاً جديداً أخذين في الاعتبار الازدواج بين  
اللف المغزلي ( $\vec{S}$ ) والحركة الدورانية ( $\vec{I}$ ). وطبقاً لهذا النموذج فإن بئر  
الجهد يأخذ الشكل التالي:

$$V(r) = u(r)(\vec{S}\vec{I}) \quad (٦-٢٨)$$

حيث  $V(r)$  هو جهد المتذبذب الهارموني (جهد ساكسون- وودز) Saxon-Woods Potential ، حيث  $u(r) \propto \frac{1}{r} \frac{dV}{dr}$  وفي هذه الحالة يكون للمستوي ذي العدد الكمي  $l$  قيمتين للطاقة طبقاً للدوران المتبادل لللف المغزلي ( $\bar{S}$ ) وكمية الحركة الزاوية المدارية ( $\bar{I}$ ). فإذا كان اللف المغزلي موازياً لاتجاه اللف المداري فإننا نحصل علي القيمة الصغرى لطاقة المستوي، بينما نحصل علي القيمة الكبرى عندما يكون اللف المغزلي في عكس اتجاه اللف المداري أي أن المستوي ذي العدد الكمي المداري  $l$  يتفرع إلي مستويين فرعيين ذي العدد الكمي  $i \propto l \pm \frac{1}{2}$  أي أنه بدلاً من الحالة  $np$  أي ( $l \pm 1$ ) فإننا نحصل علي الحالتين الفرعيتين  $np_{\frac{1}{2}}, np_{\frac{3}{2}}$  وأيضاً في الحالة  $nd$  أي ( $l \pm 2$ ) فإننا نحصل علي الحالتين الفرعيتين  $nd_{\frac{1}{2}}, nd_{\frac{3}{2}}$  وهكذا. وتكون طاقة المستوي ذو القيمة الكبرى  $I$  أقل من طاقة المستوي ذو القيمة الصغرى  $I$  والشكل (١٢-٦) يوضح انقسام وإعادة ترتيب المستويات في أبسط نموذج قشري (نموذج الجسيم المنفرد).



شكل (١٢-٦) انقسام وإعادة ترتيب المستويات في نموذج الجسيم المفرد

ويوضح جدول (٦-١) ترتيب الحالات والنيوكونات في المستويات الفرعية والذي يتحدد بالعلاقة  $m = 2i+1$  وكذلك العدد الكلي للنيوكونات بالمستويات المغلقة  $N$  حيث  $(N \approx \sum m)$ . من هذا الجدول يمكن ملاحظة أن المستويات المغلقة تحتوي على عدد من النيوكونات يساوي القيم العملية للأعداد السحرية (2,8,20,50,82,126).



جدول (٦-١) يوضح ترتيب الحالات والنيوكليونات في المستويات الفرعية

المدار Shell	حالة المستوي State	$m = 2i+1$	$(N \square \Sigma m)$
١	$1S_{\frac{1}{2}}$	٢	٢
٢	$1p_{\frac{3}{2}}, 1p_{\frac{1}{2}}$	$٢+٤=٦$	٨
٣	$1d_{\frac{5}{2}}, 2s_{\frac{1}{2}}, 1d_{\frac{3}{2}}$	$٦+٢+٤=١٢$	٢٠
٤	$1f_{\frac{7}{2}}, 2p_{\frac{3}{2}}, 1f_{\frac{5}{2}}, 2p_{\frac{1}{2}}, 1g_{\frac{9}{2}}$	$٨+٤+٦+٢+١٠=٣٠$	٥٠
٥	$1g_{\frac{7}{2}}, 2d_{\frac{5}{2}}, 2d_{\frac{3}{2}}, 3s_{\frac{1}{2}}, 1h_{\frac{11}{2}}$	$٨+٦+٤+٢+١٢=٣٢$	٨٢
٦	$1h_{\frac{9}{2}}, 2f_{\frac{7}{2}}, 2f_{\frac{5}{2}}, 3p_{\frac{3}{2}}, 3p_{\frac{1}{2}}, 1h_{\frac{13}{2}}$	$١٠+٨+٦+٤+٢+١٤=٤٤$	١٢٦

ويتم توزيع الأنوية في مستويات وذلك بمعرفة عدد النيوكليونات التي تحتويها الأنوية وكذلك قيم اللف المغزلي والقيم  $I$  التي تميز الحالات. وقد وضعت الفروض الآتية والتي تحققت عملياً في حالة توزيع الأنوية في مستويات:

١- كمية التحرك الزاوية الكلية لنظام يحتوي علي عدد زوجي من البروتونات وعدد زوجي من النيوترونات تساوي صفراً.

٢- كمية التحرك الزاوية الكلية لنظام يحتوي علي عدد فردي من النيوكليونات تتعين بمقدار كمية التحرك الزاوية  $\vec{i} \square \vec{S} \square \vec{I}$  للنيوكليون المنفرد (غير المتزوج).

٣- كمية التحرك الزاوية الكلية لنظام (فردى - فردى) والذي نيوكليوناته غير المتزوجة توجد في حالات متطابقة تساوي ضعف كمية التحرك الزاوية للنيوكليون.

٤- تزداد قيمة طاقة المستويات ذات العدد  $n$  بزيادة العدد الكمي المدارى  $l$ .

٥- طاقة التفاعل المغزلى - المدارى للحالة التي بها  $\vec{S}, \vec{I}$  متوازيين تكون أكبر منها في حالة ما إذا كانت  $\vec{S}, \vec{I}$  غير متوازيين.